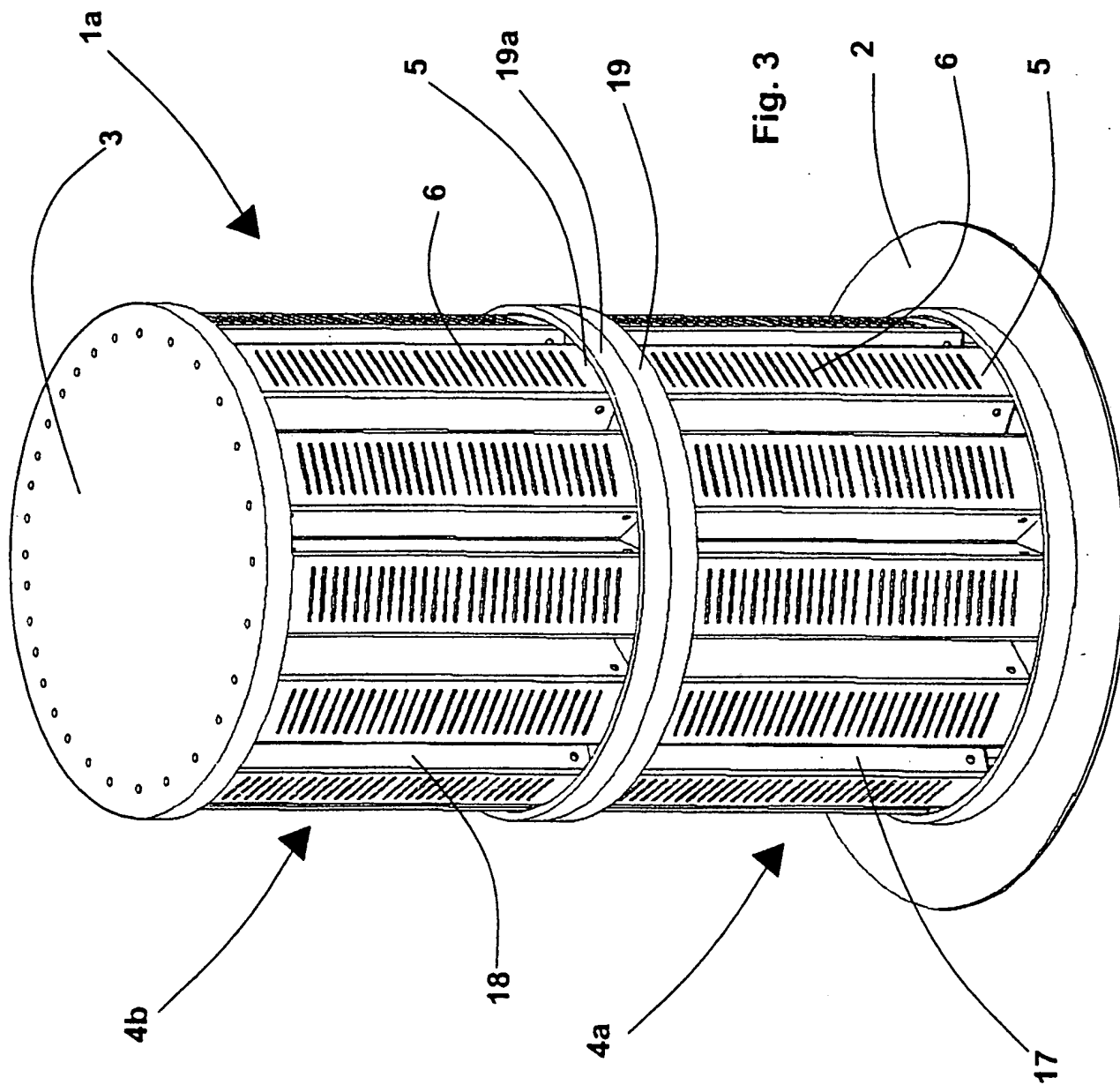


3/29



4/29

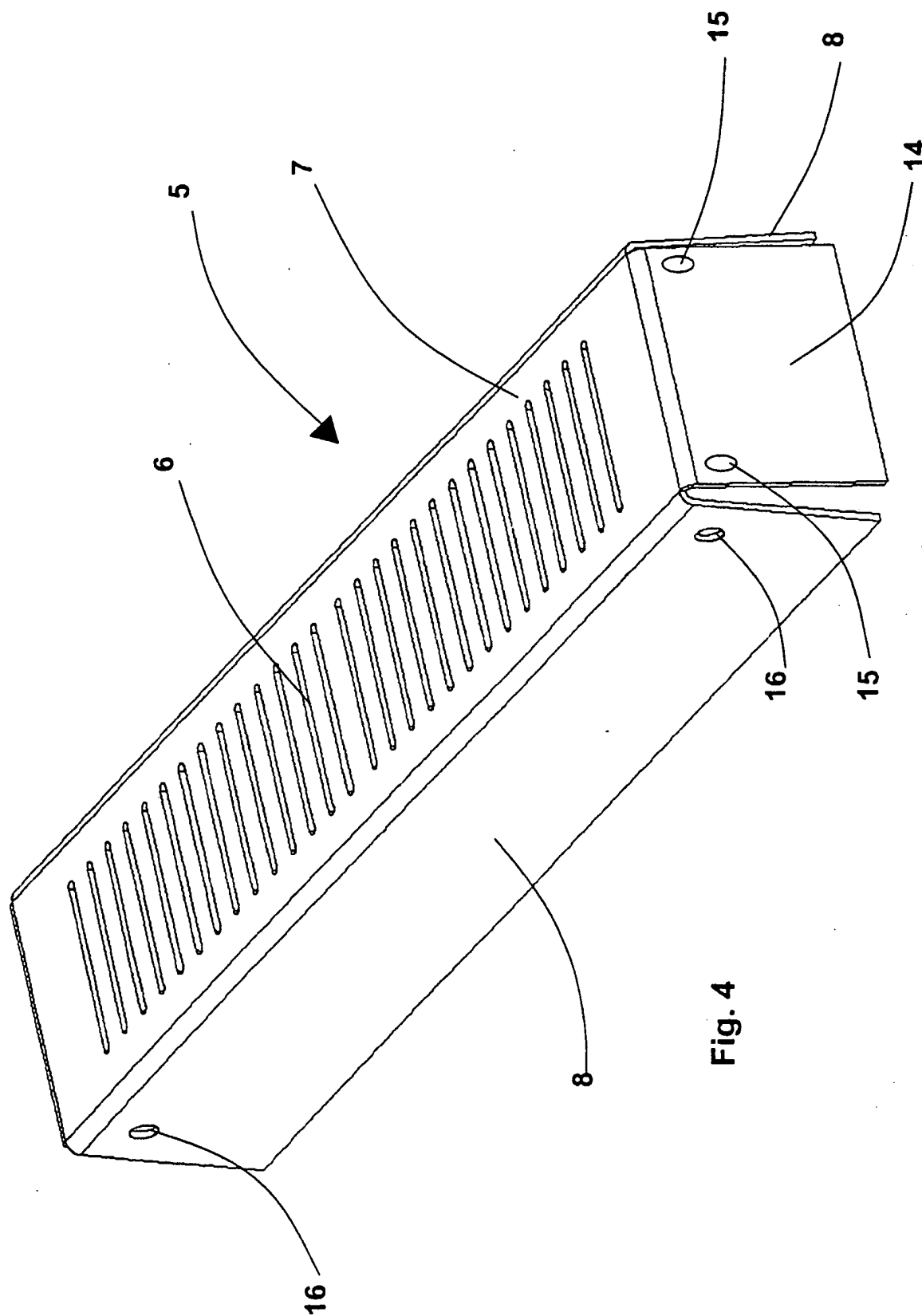


Fig. 4

5/29

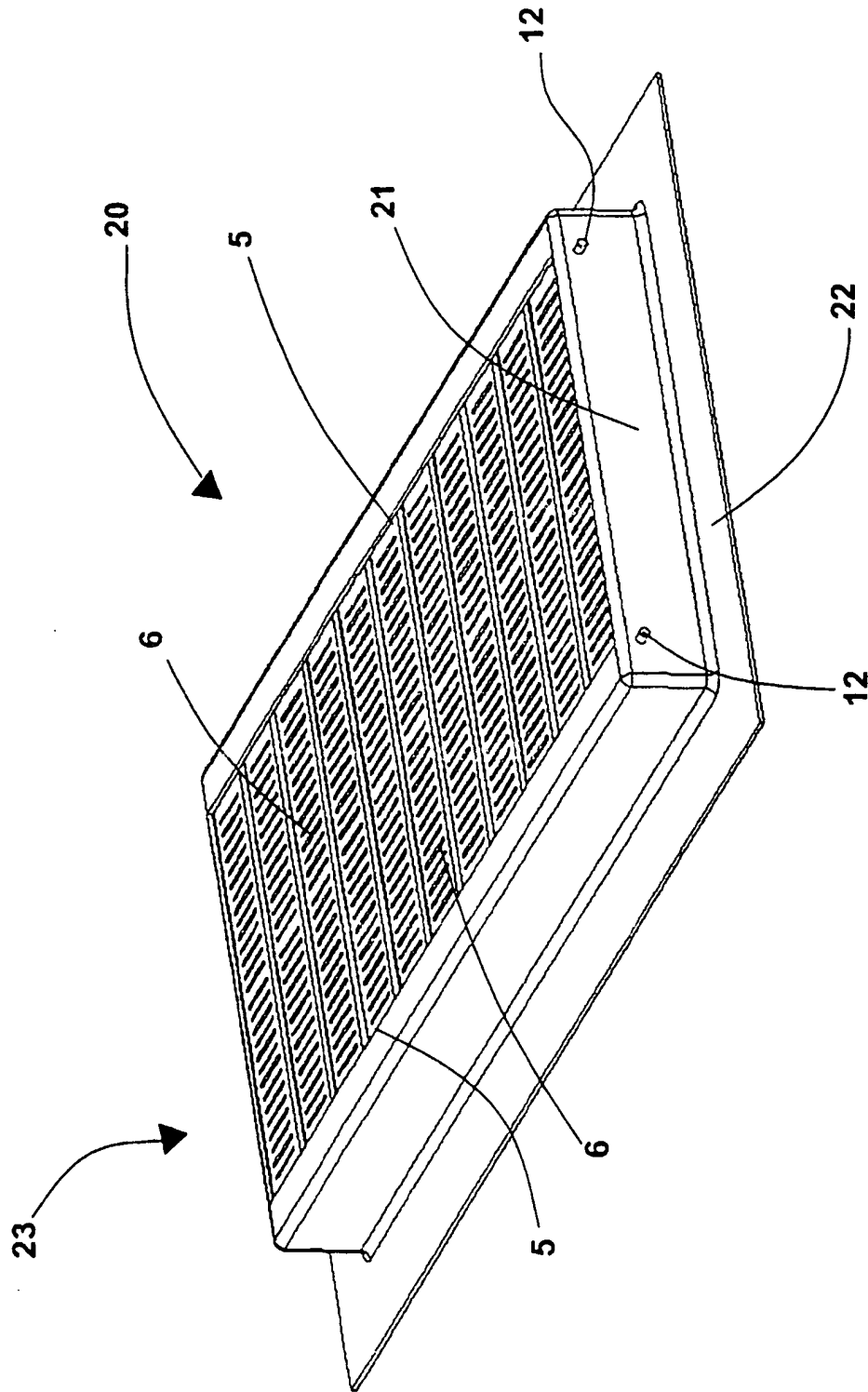


Fig. 5

6/29

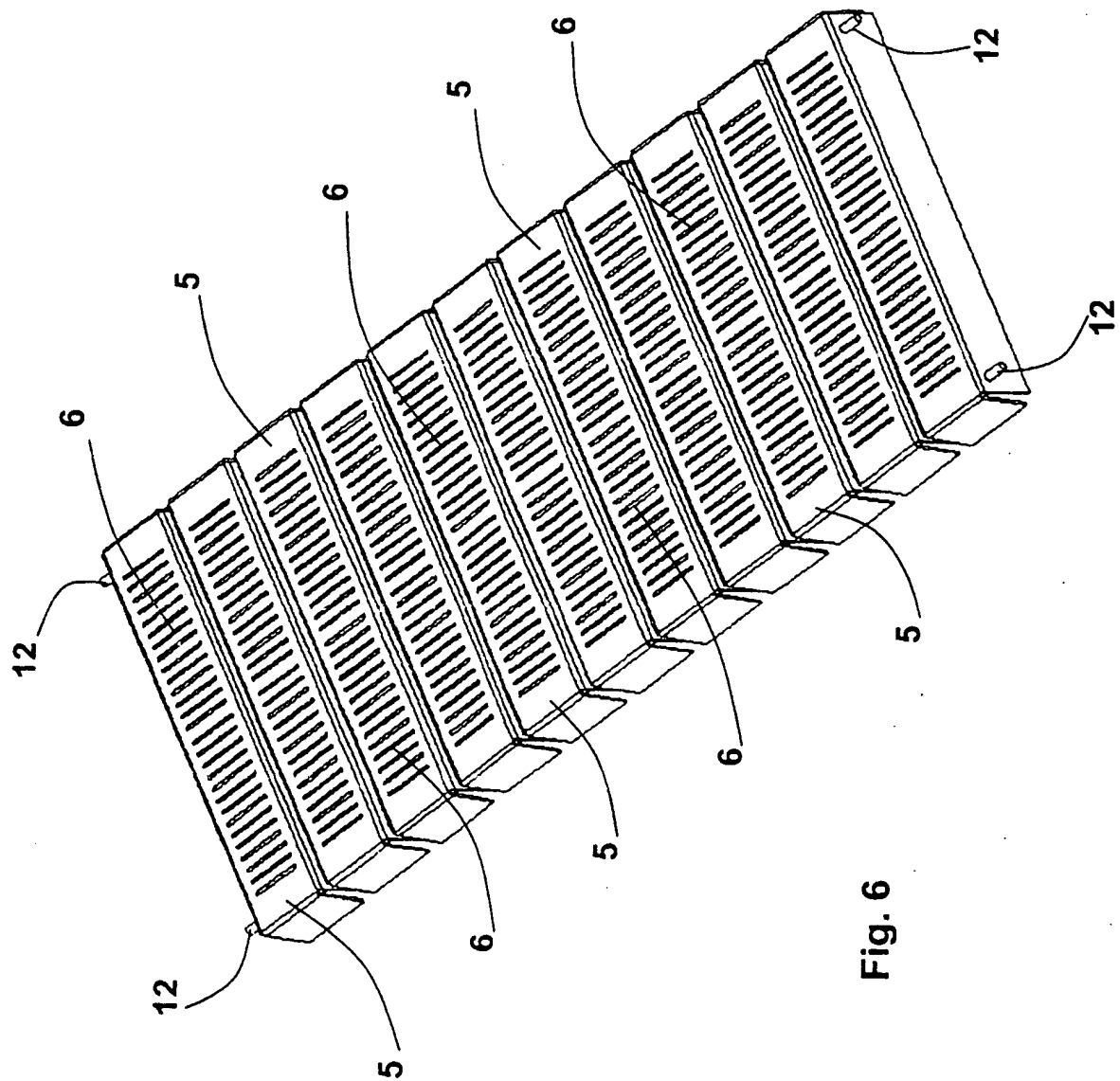


Fig. 6

7/29

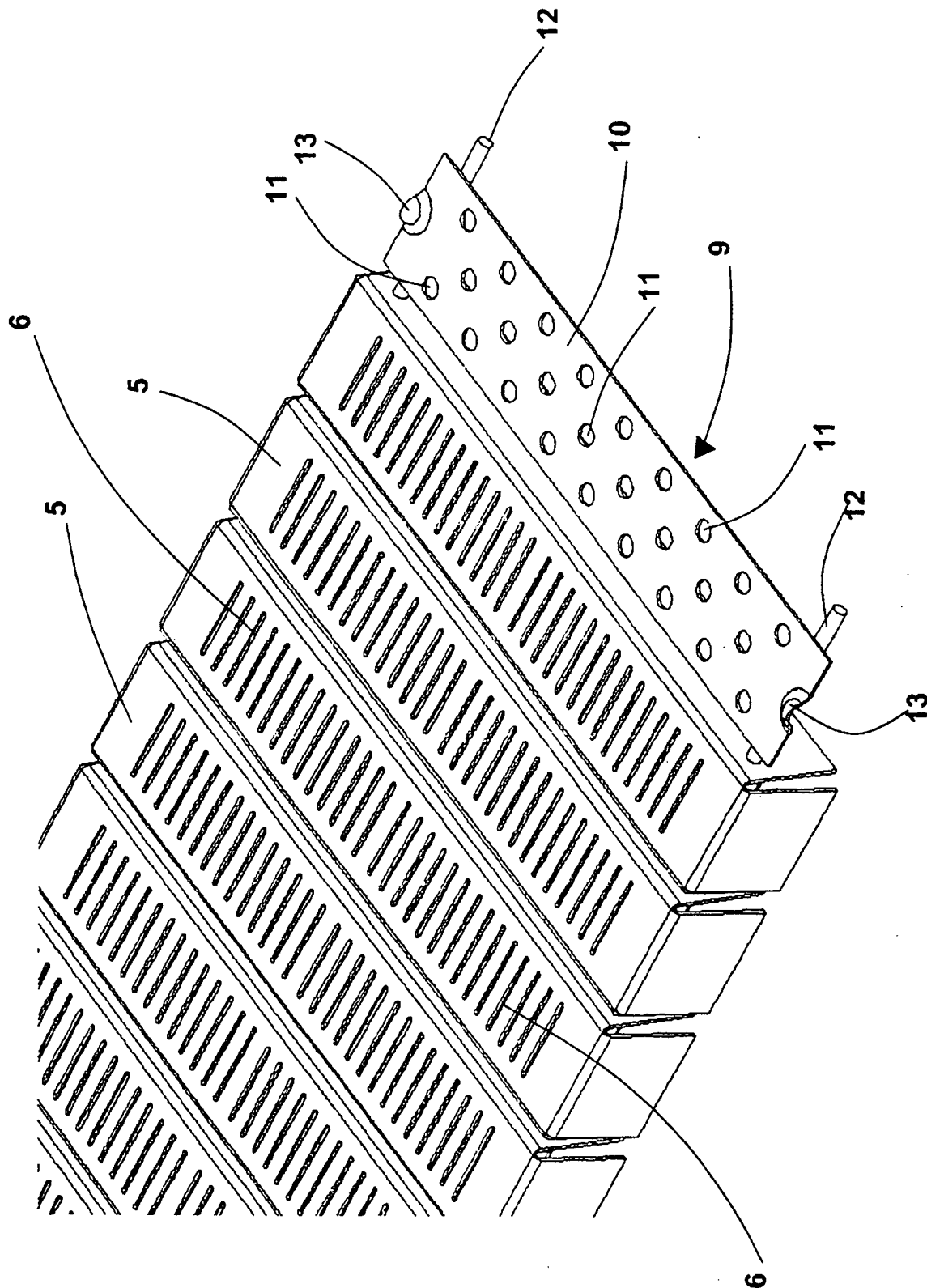


Fig. 7

8/29

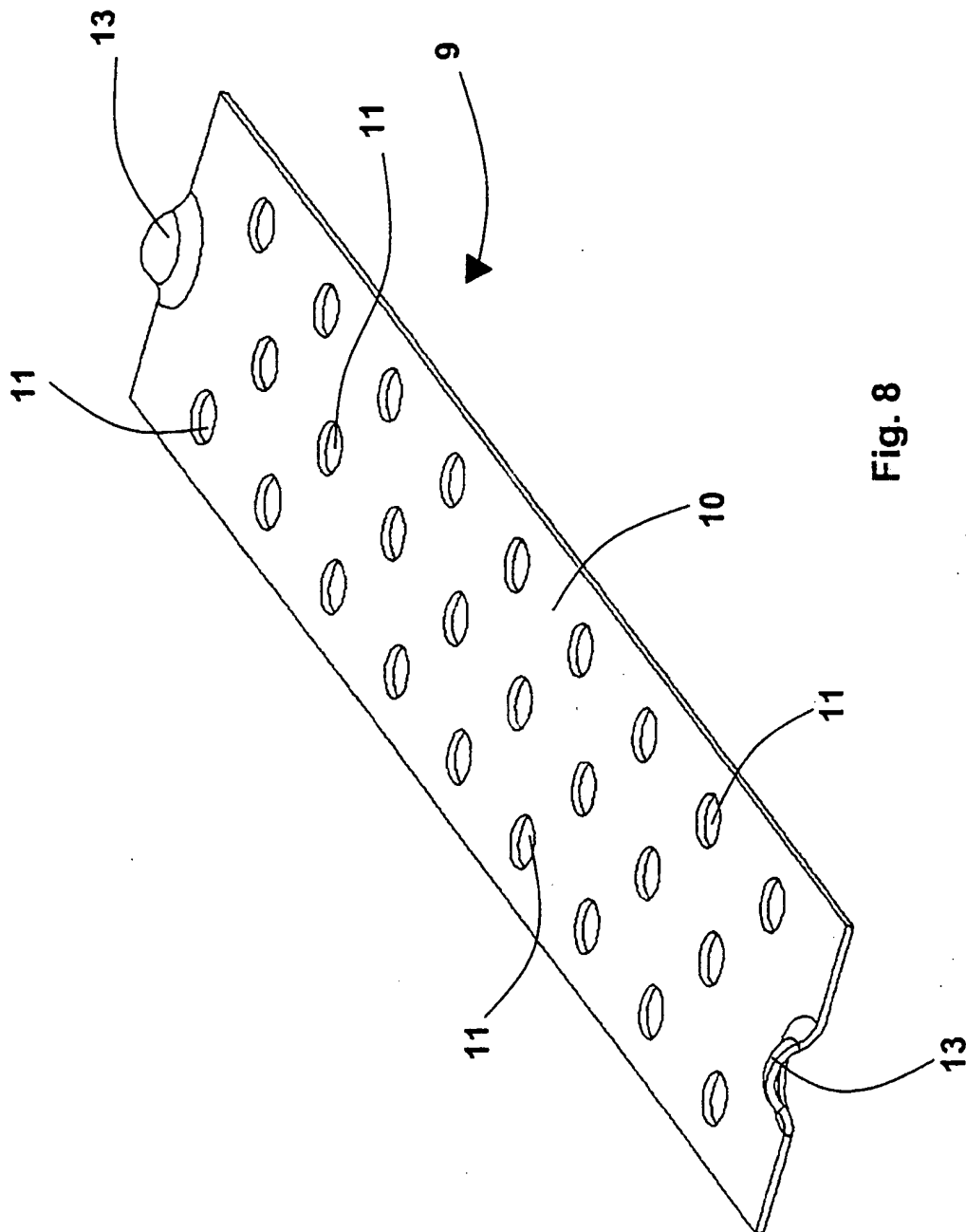


Fig. 8

9/29

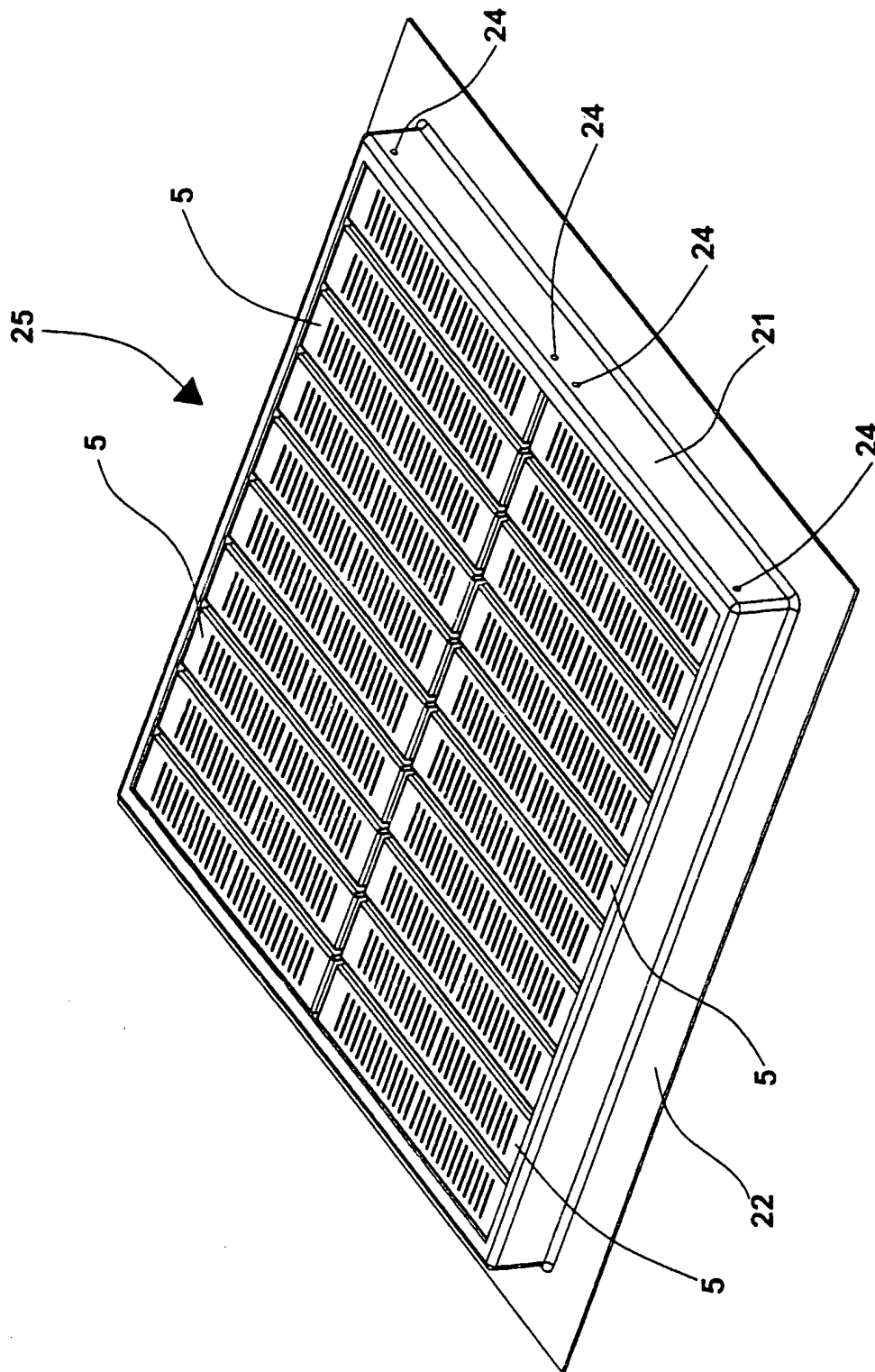
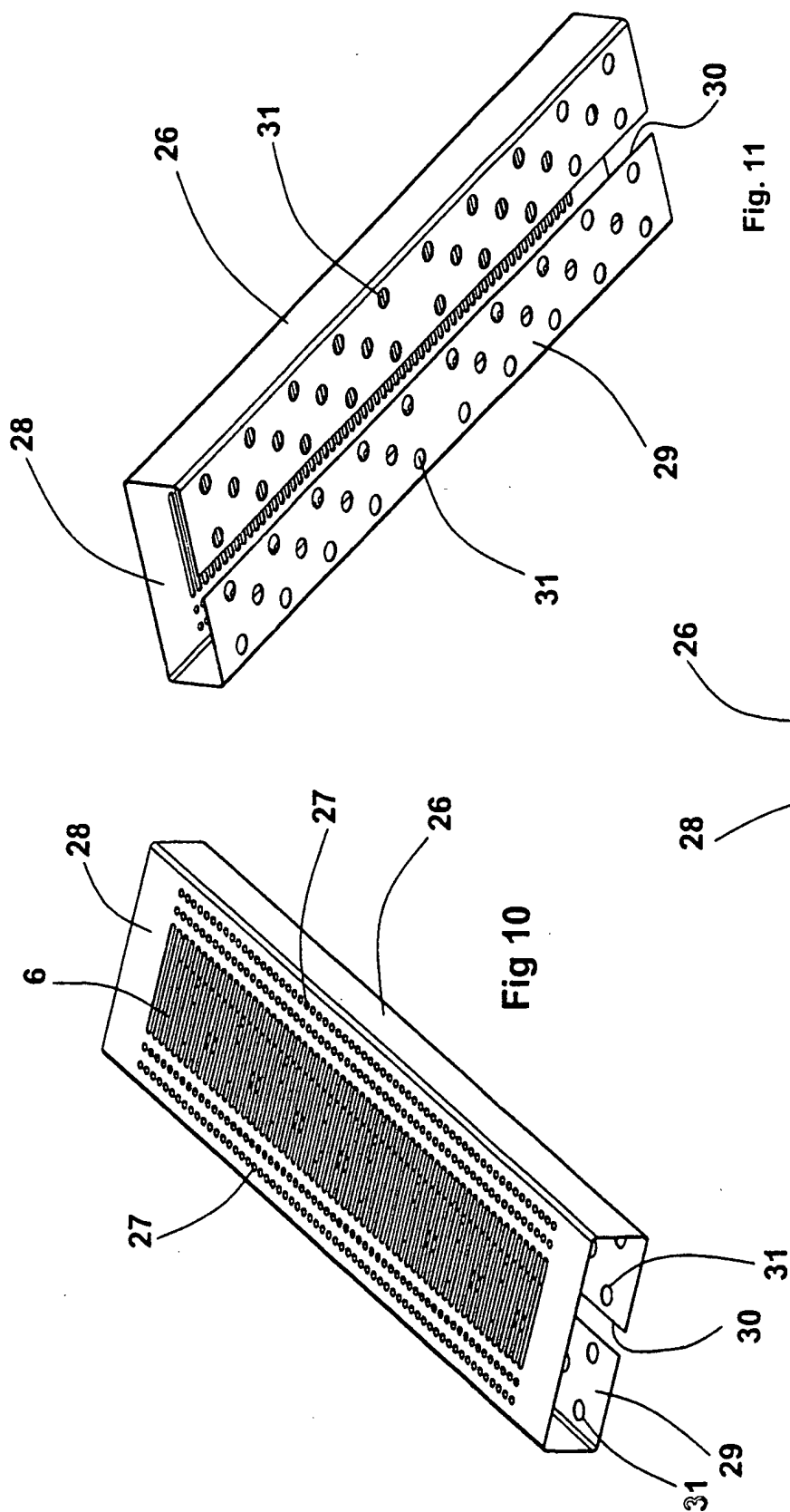


Fig. 9

10/29



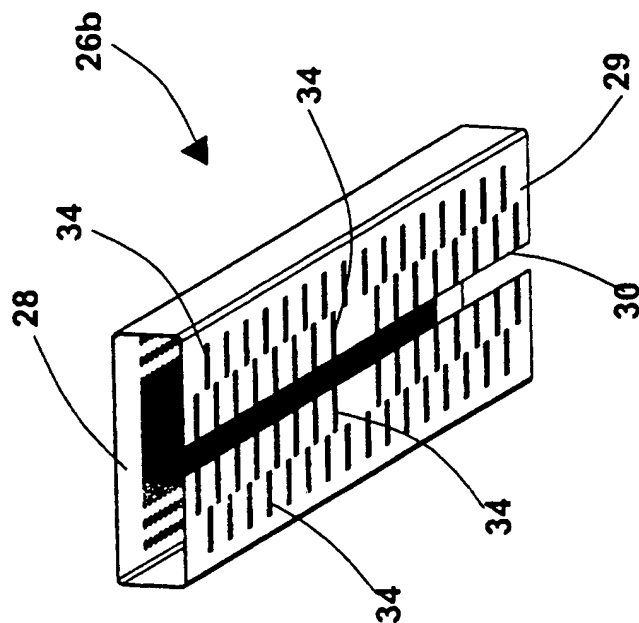


Fig. 14

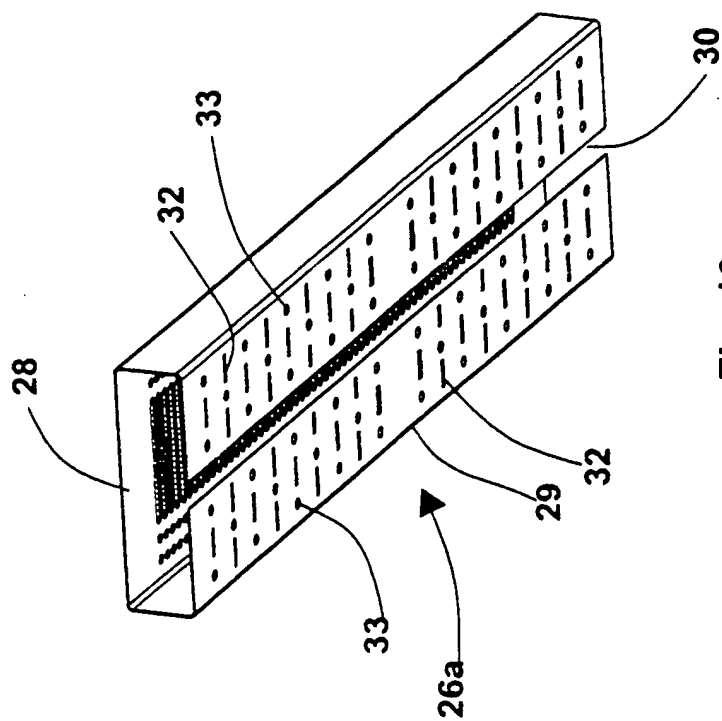
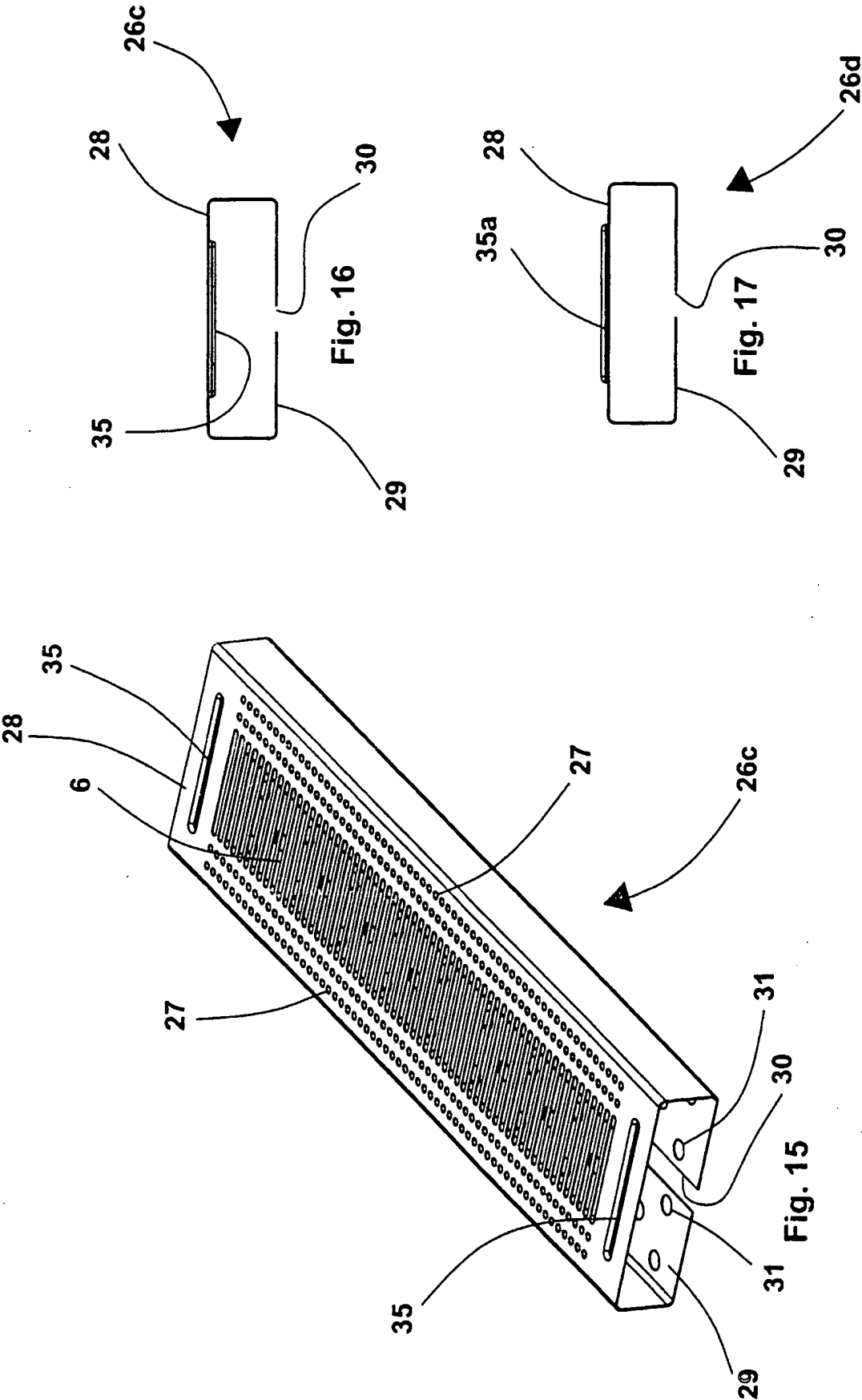


Fig. 13



13/29

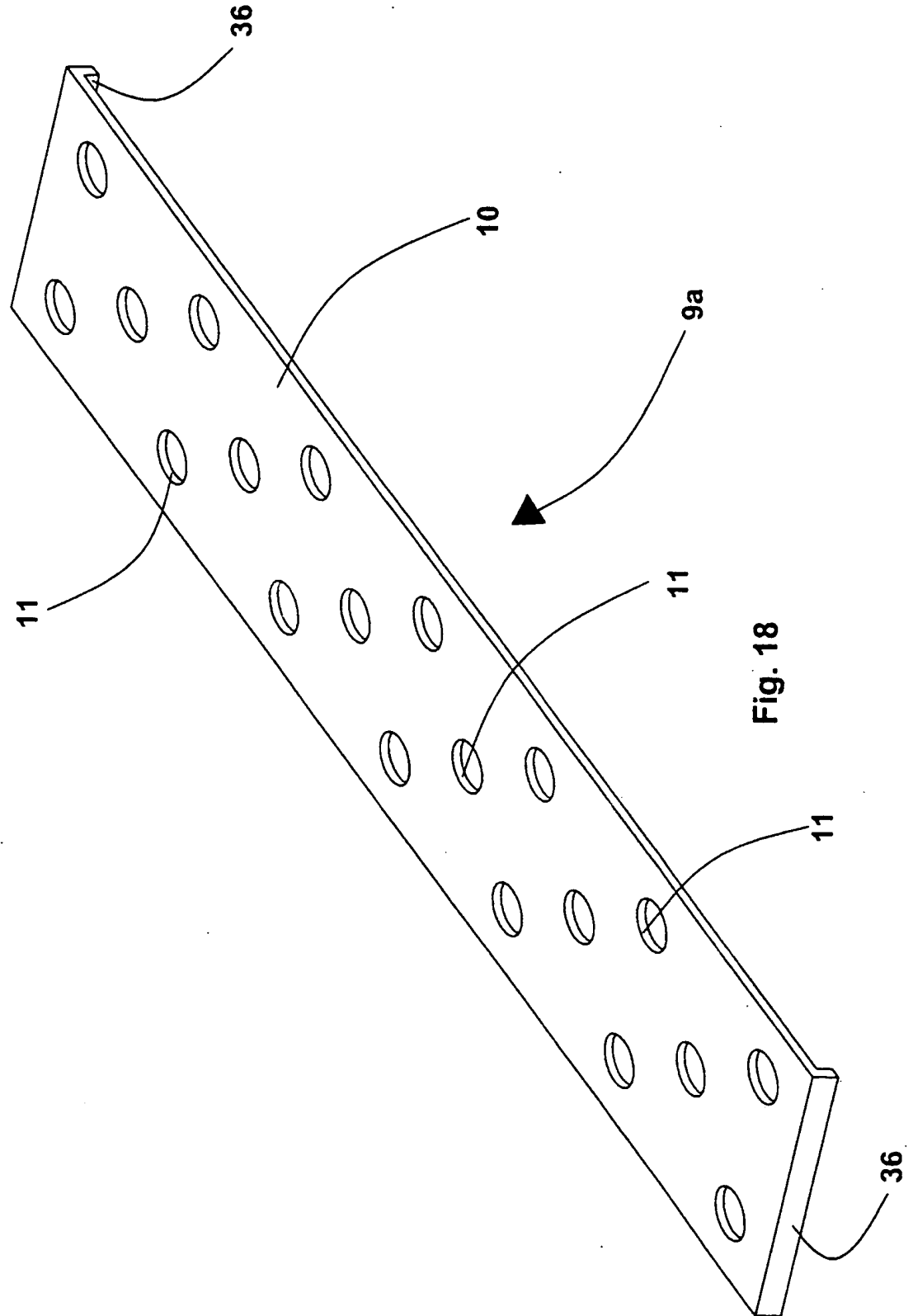
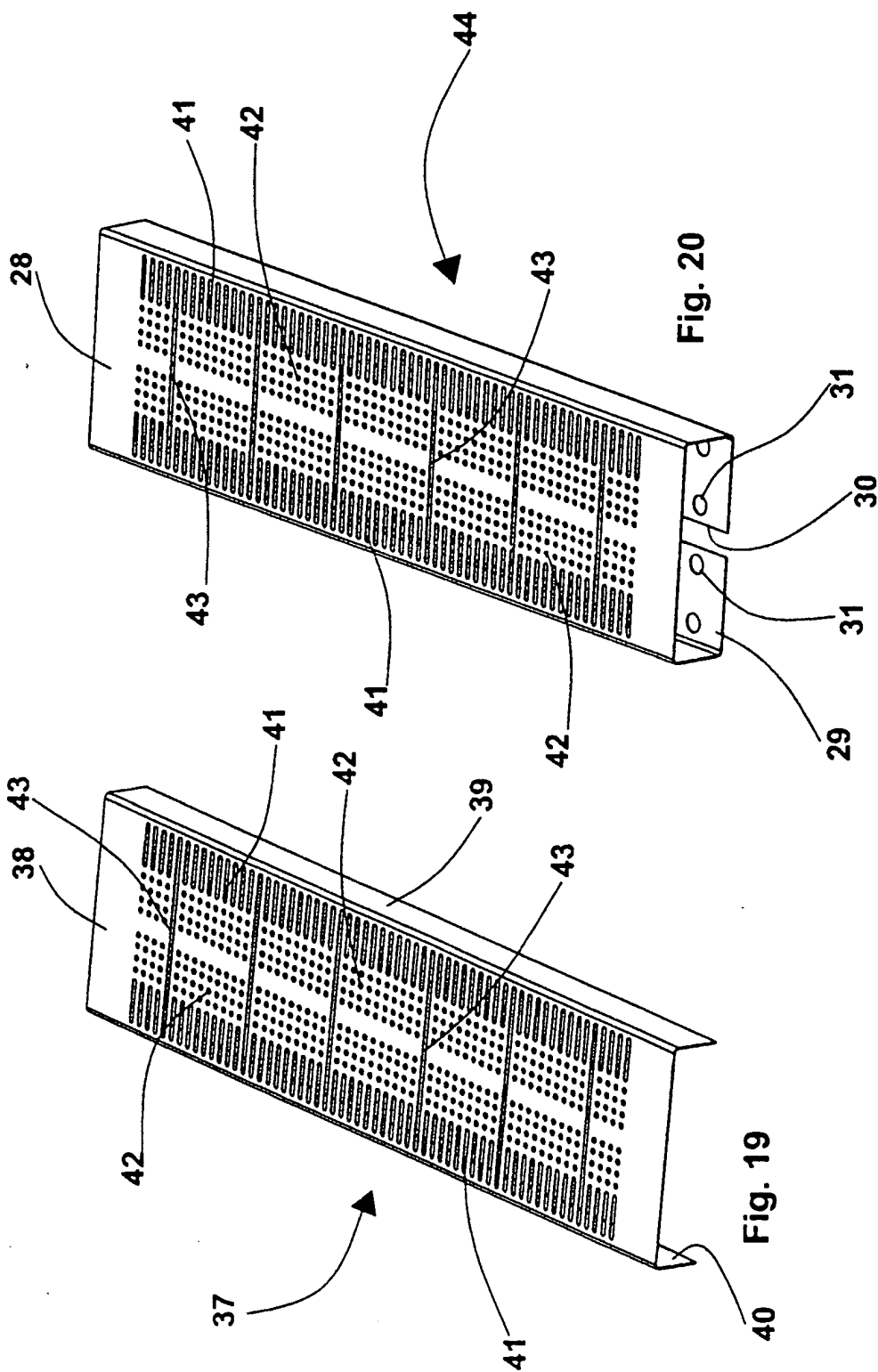
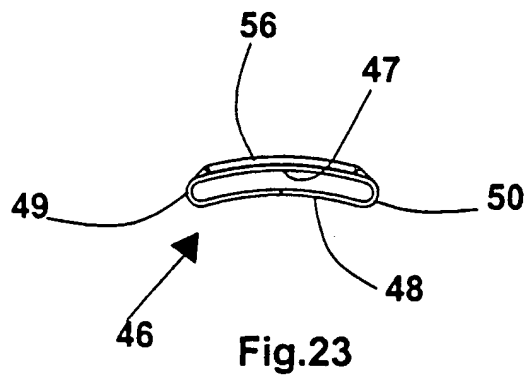
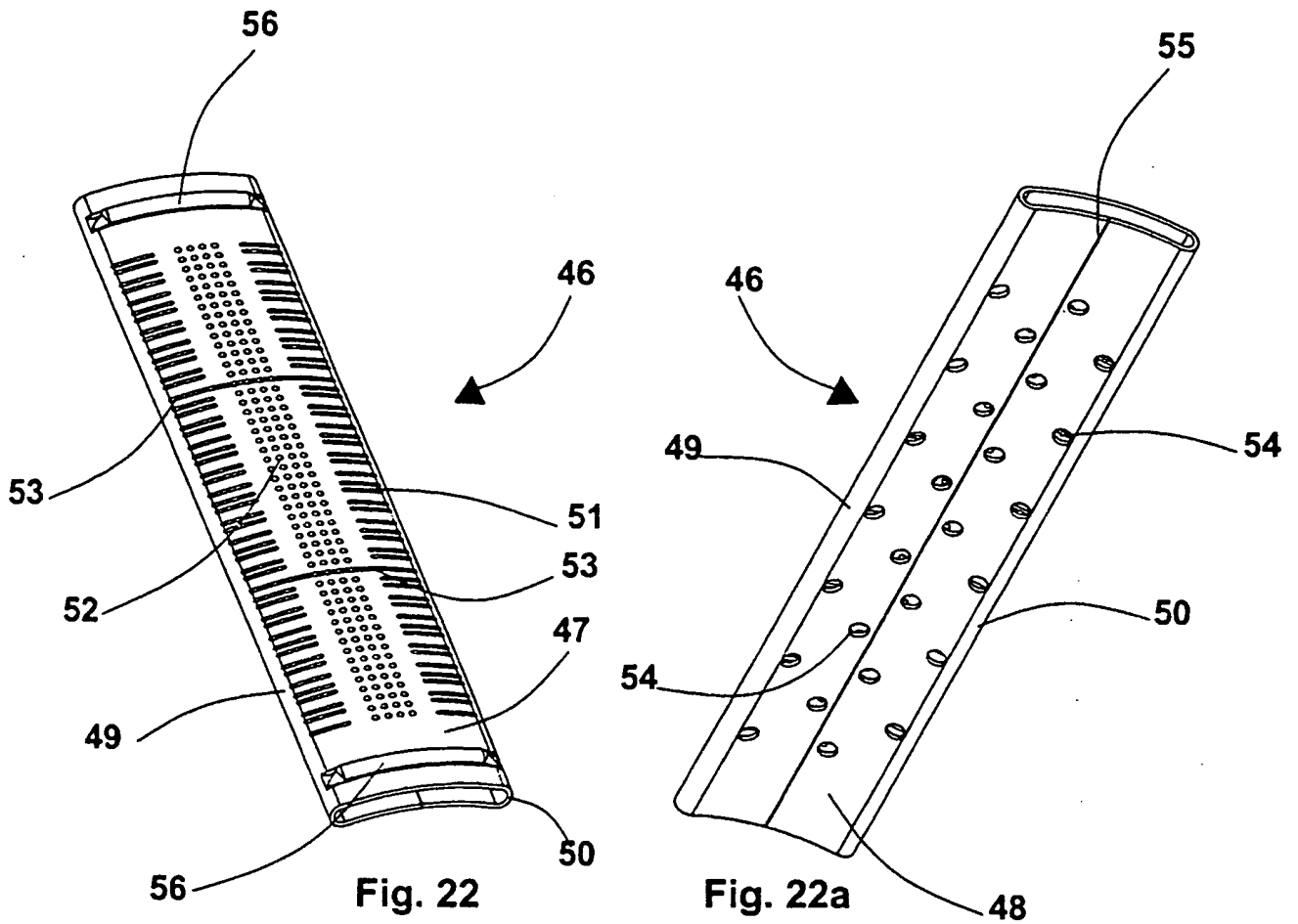


Fig. 18

14/29





16/29

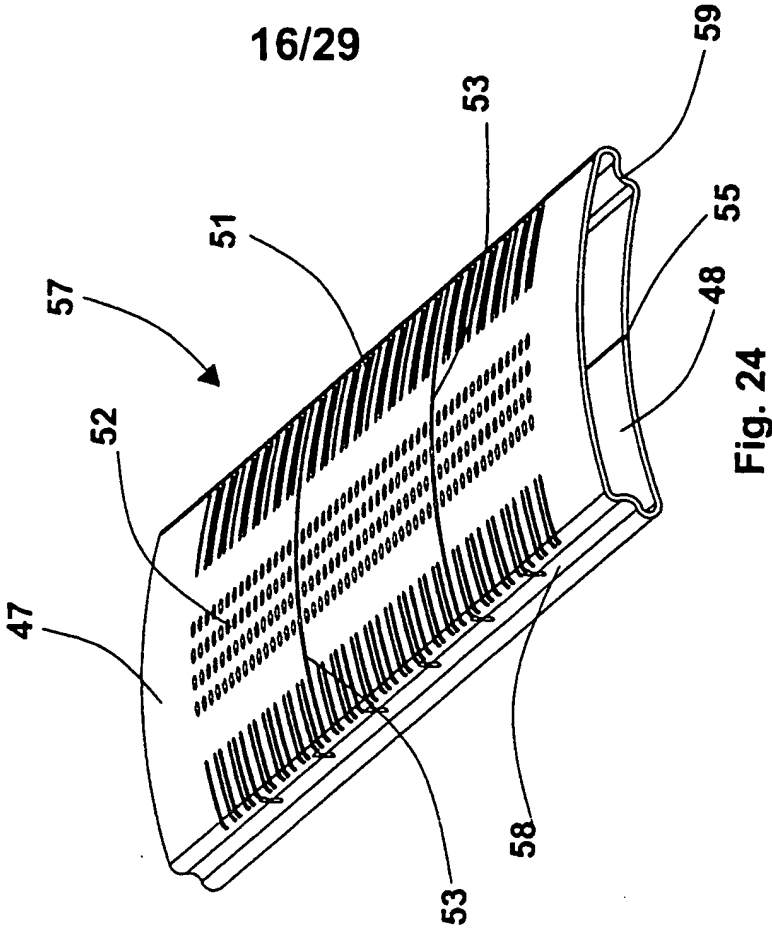


Fig. 24

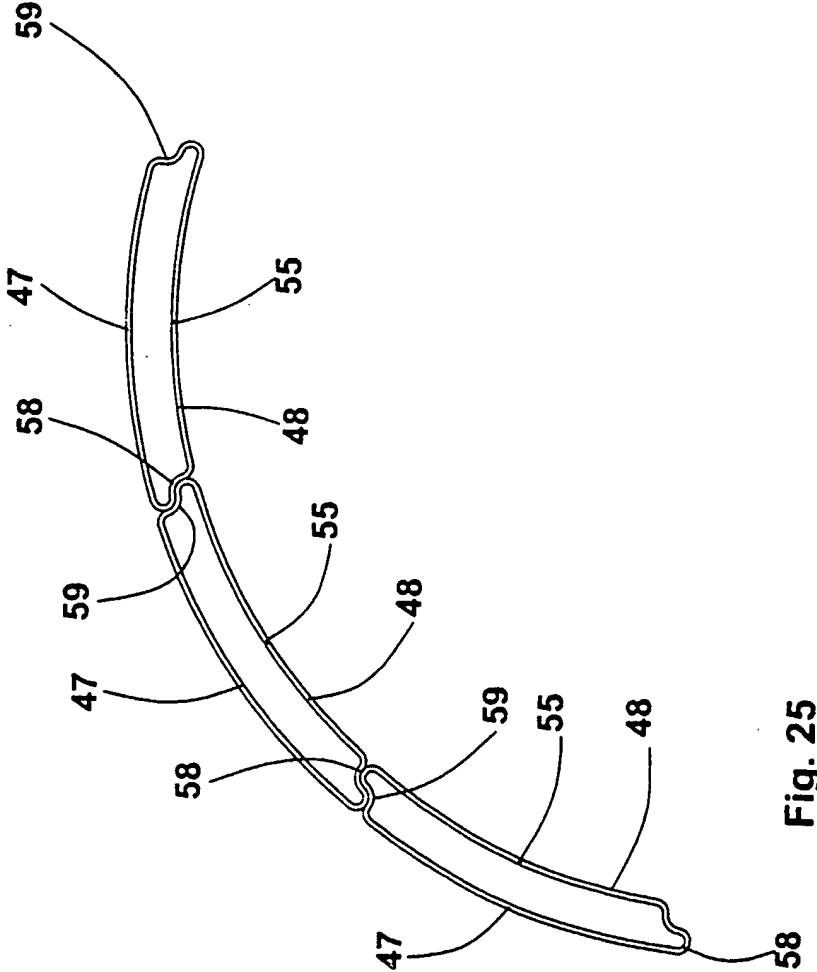


Fig. 25

17/29

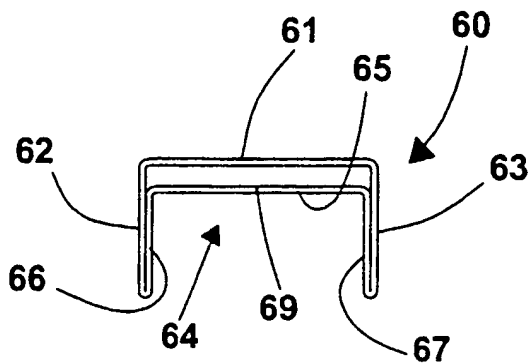


Fig. 28

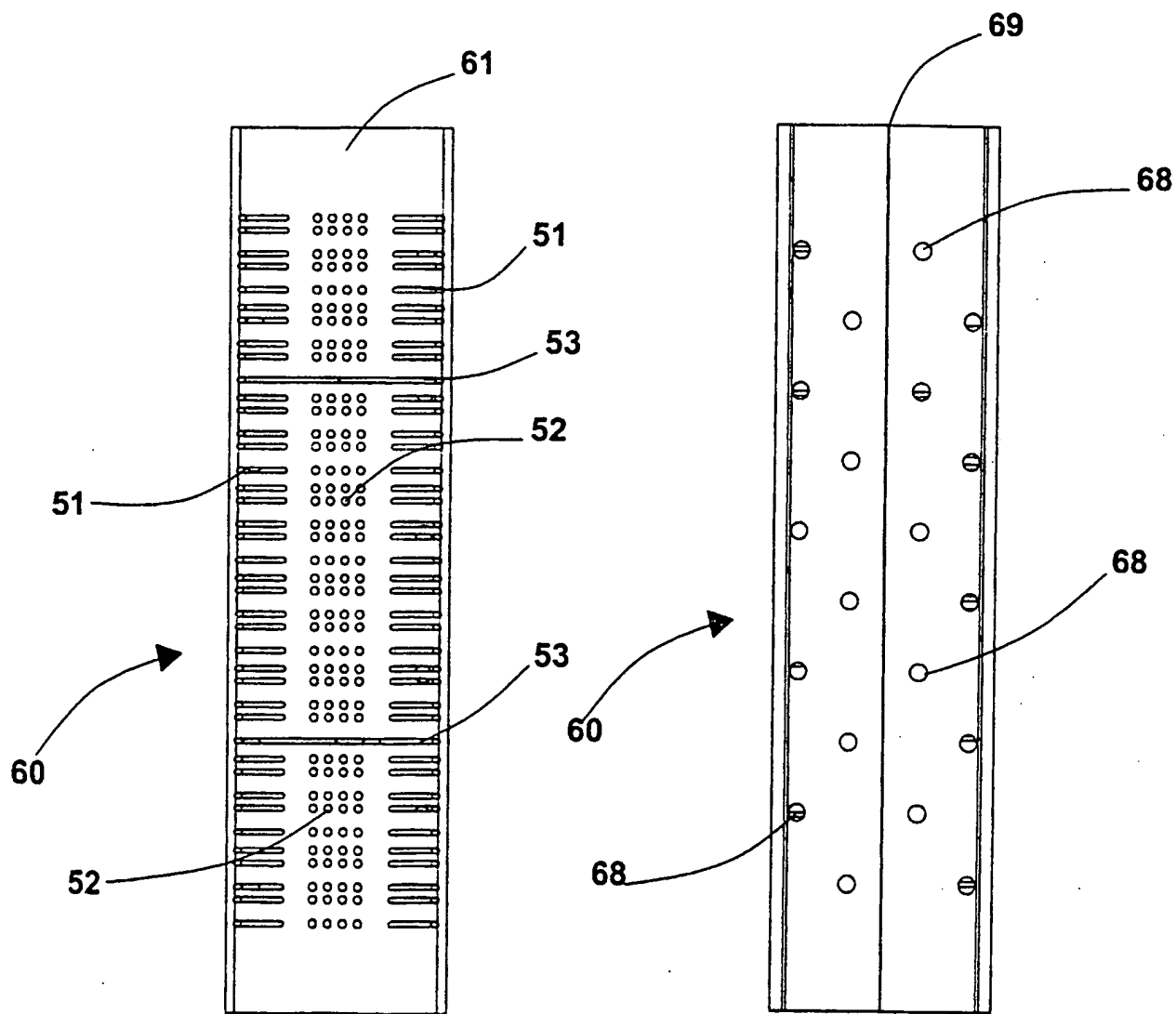
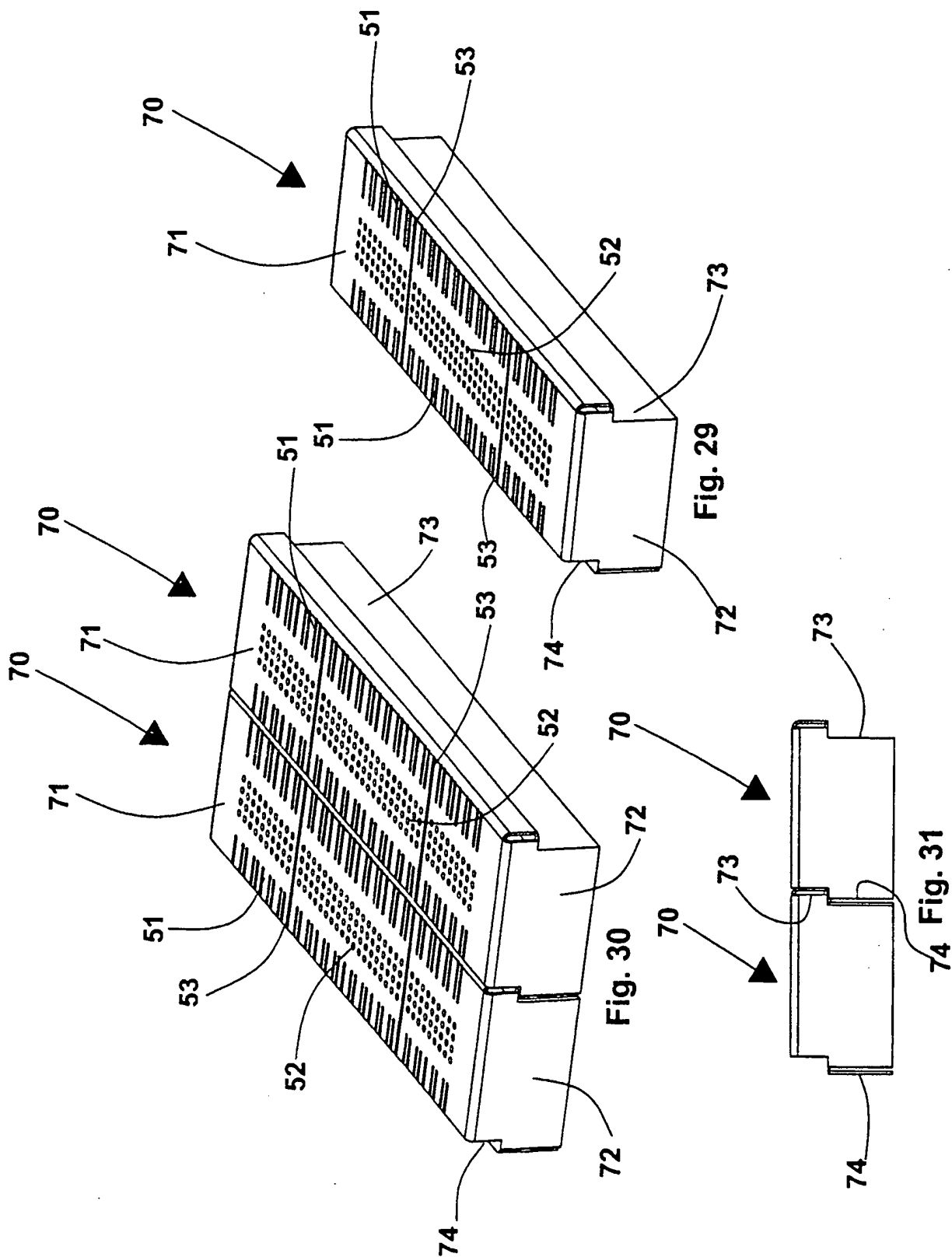
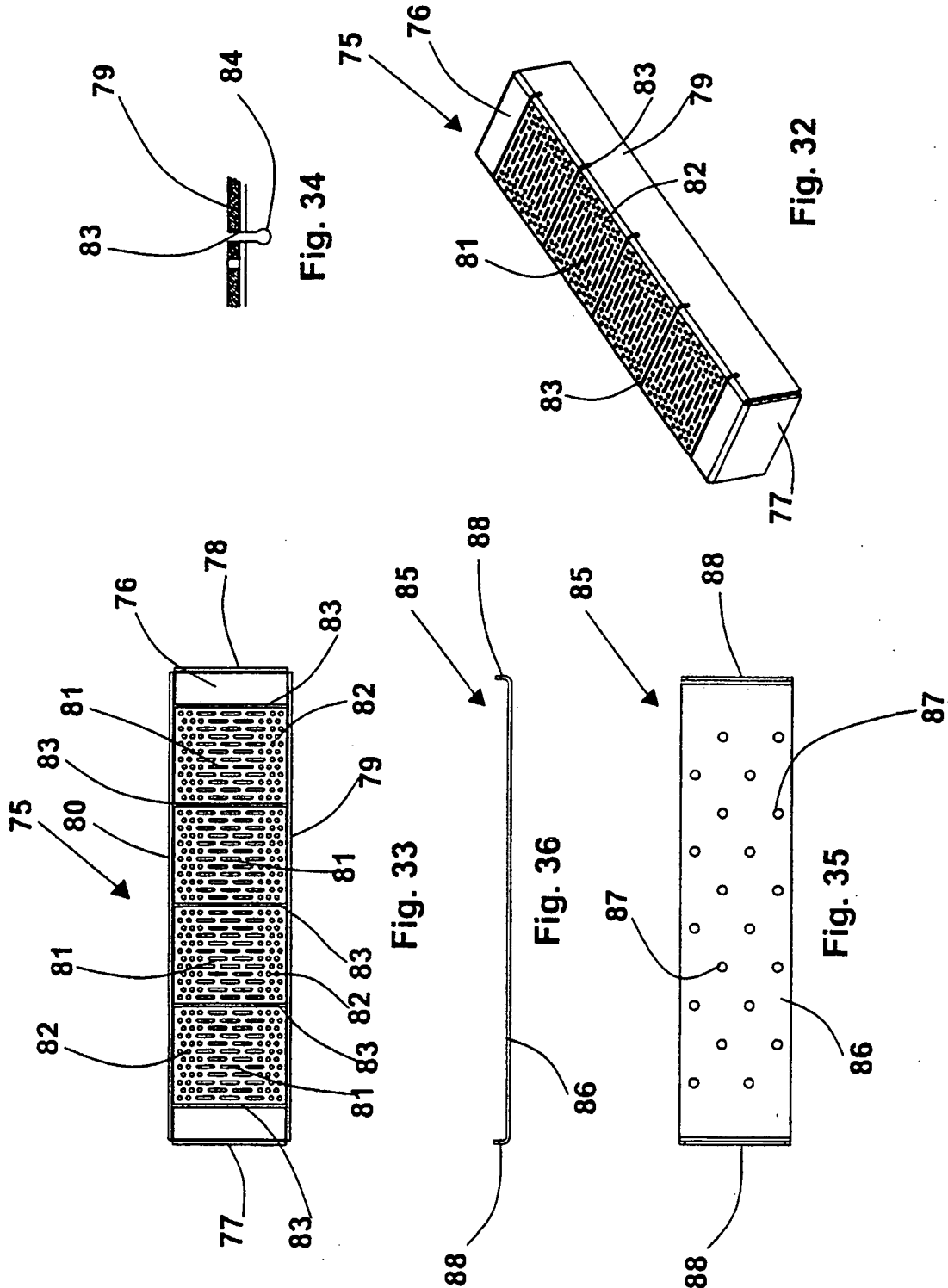


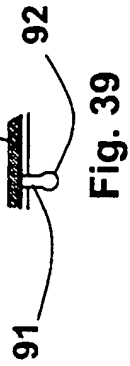
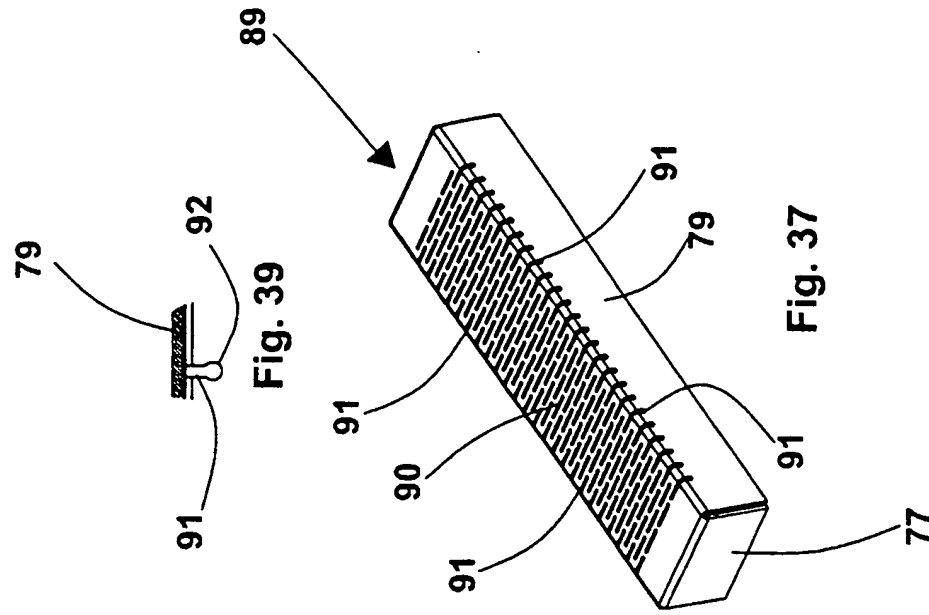
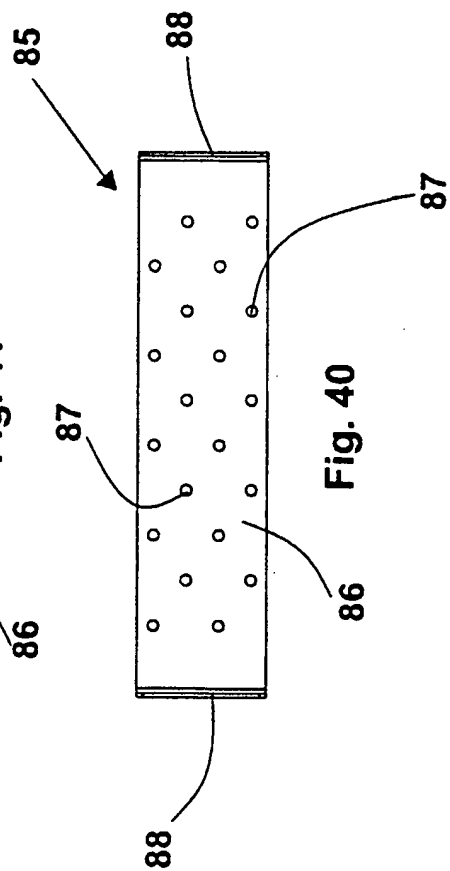
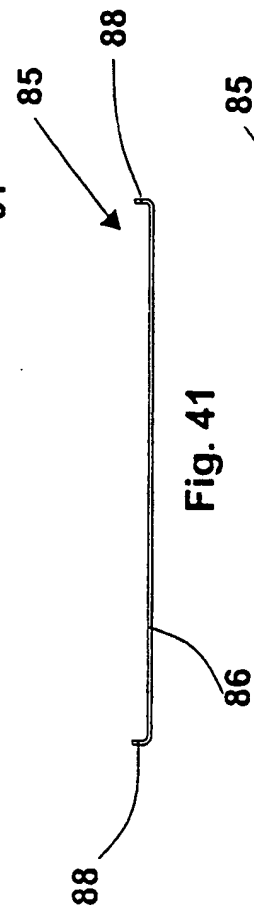
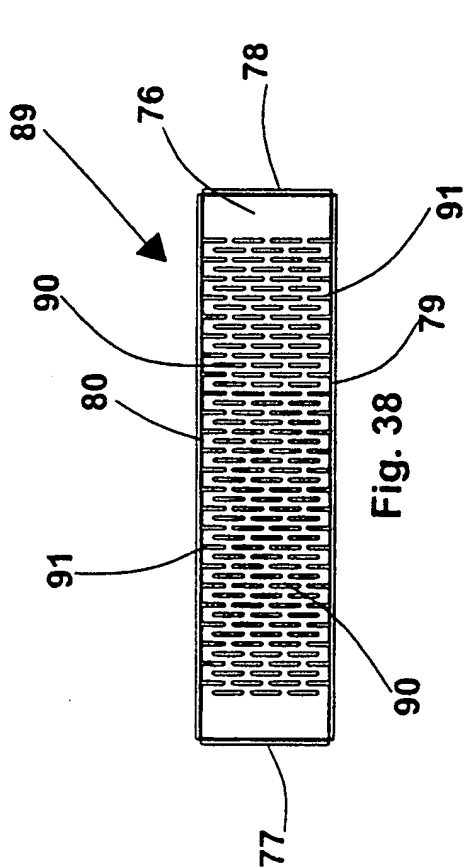
Fig. 26

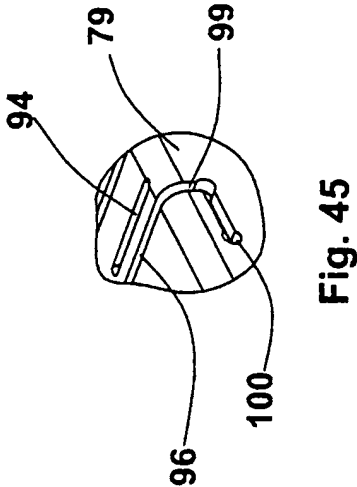
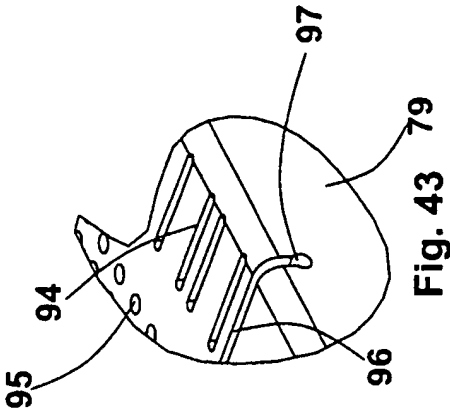
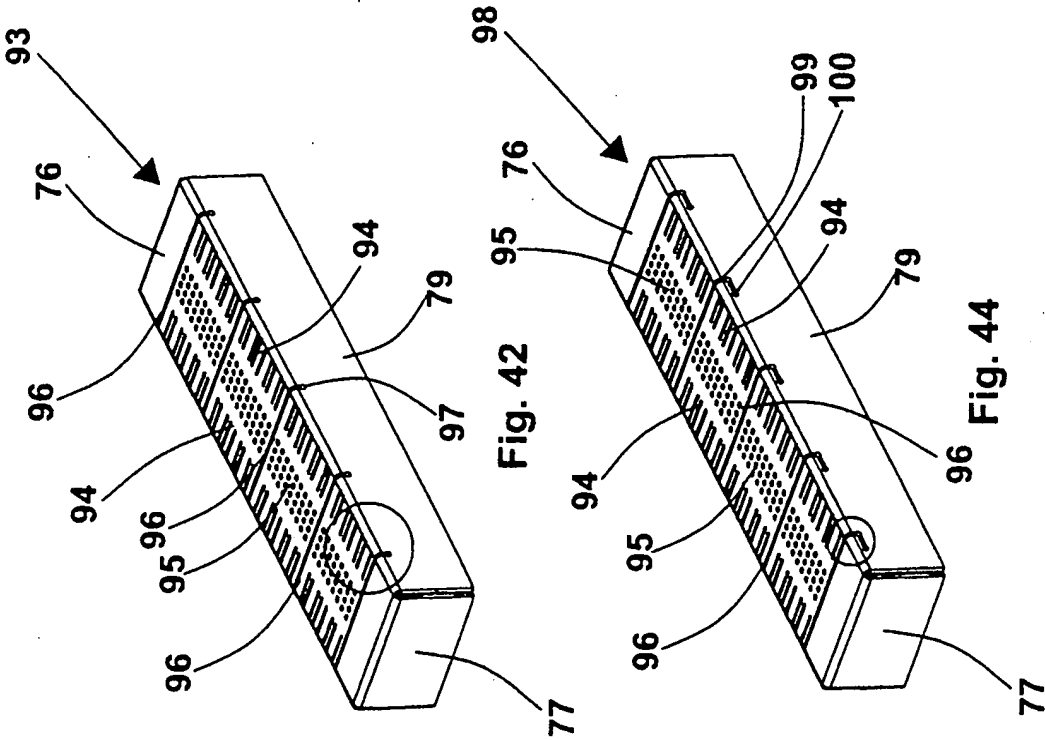
Fig. 27

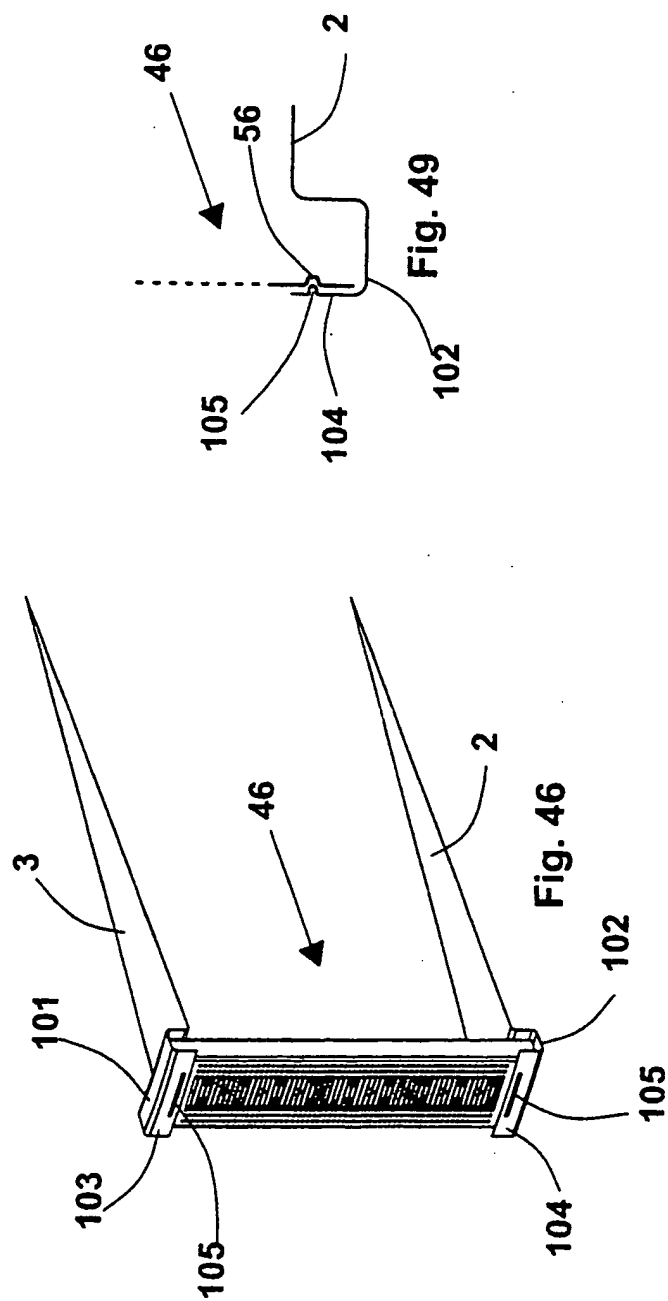
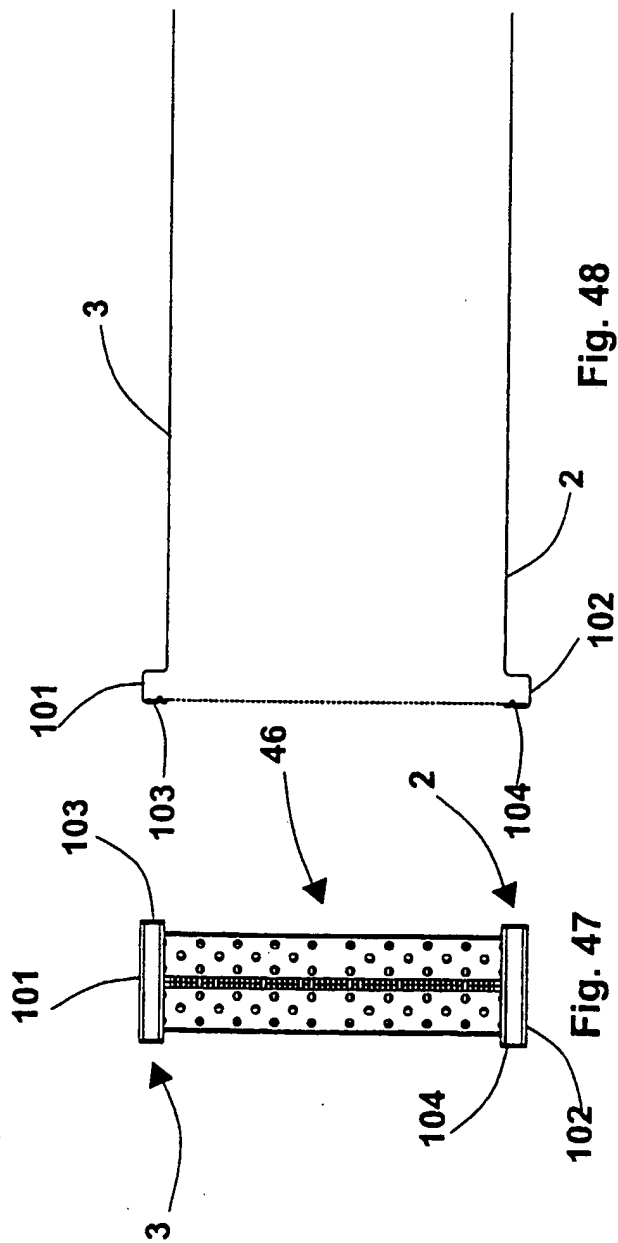
18/29











23/29

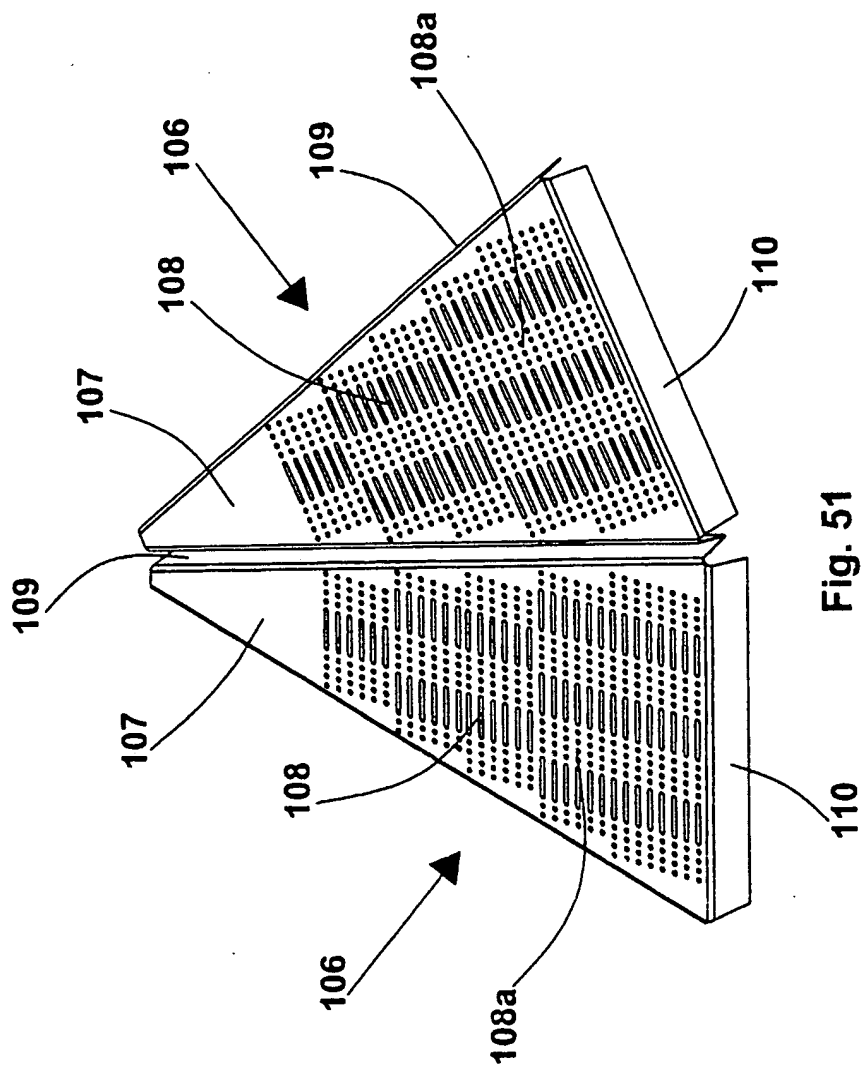


Fig. 51

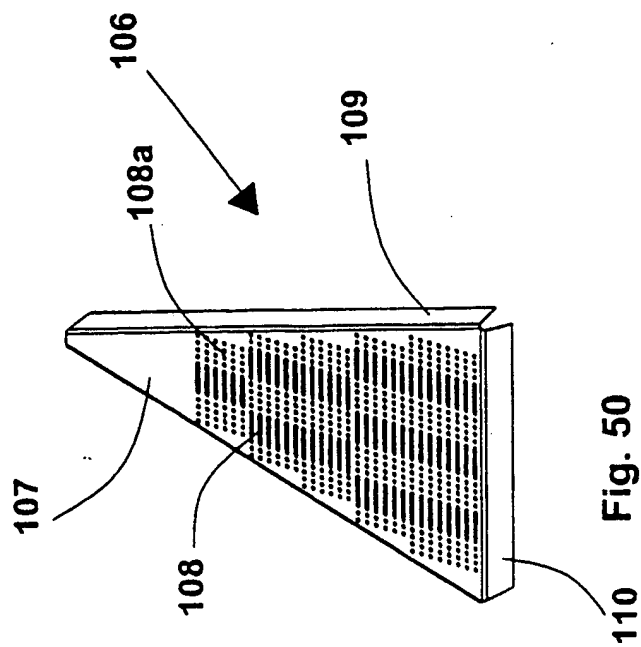
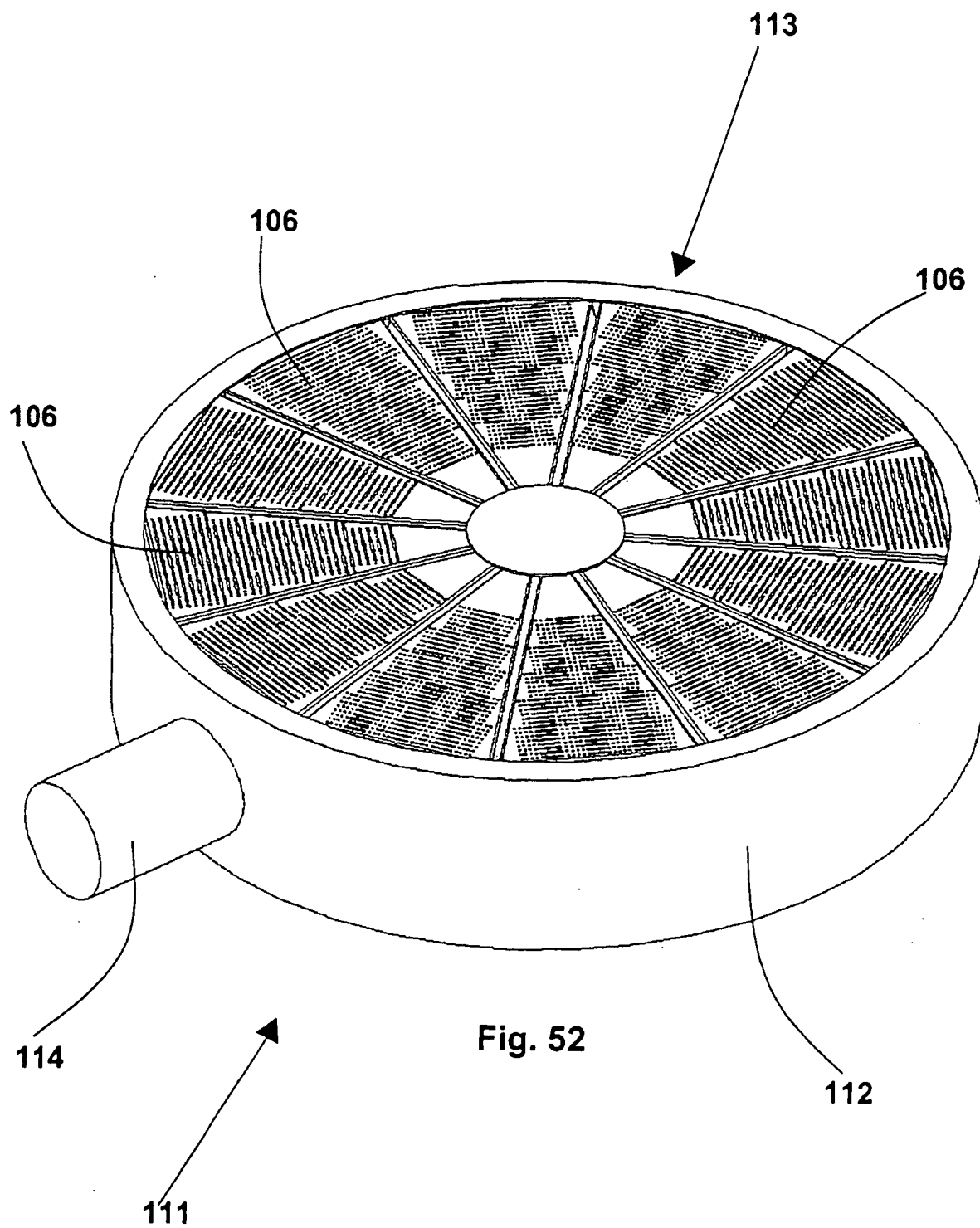
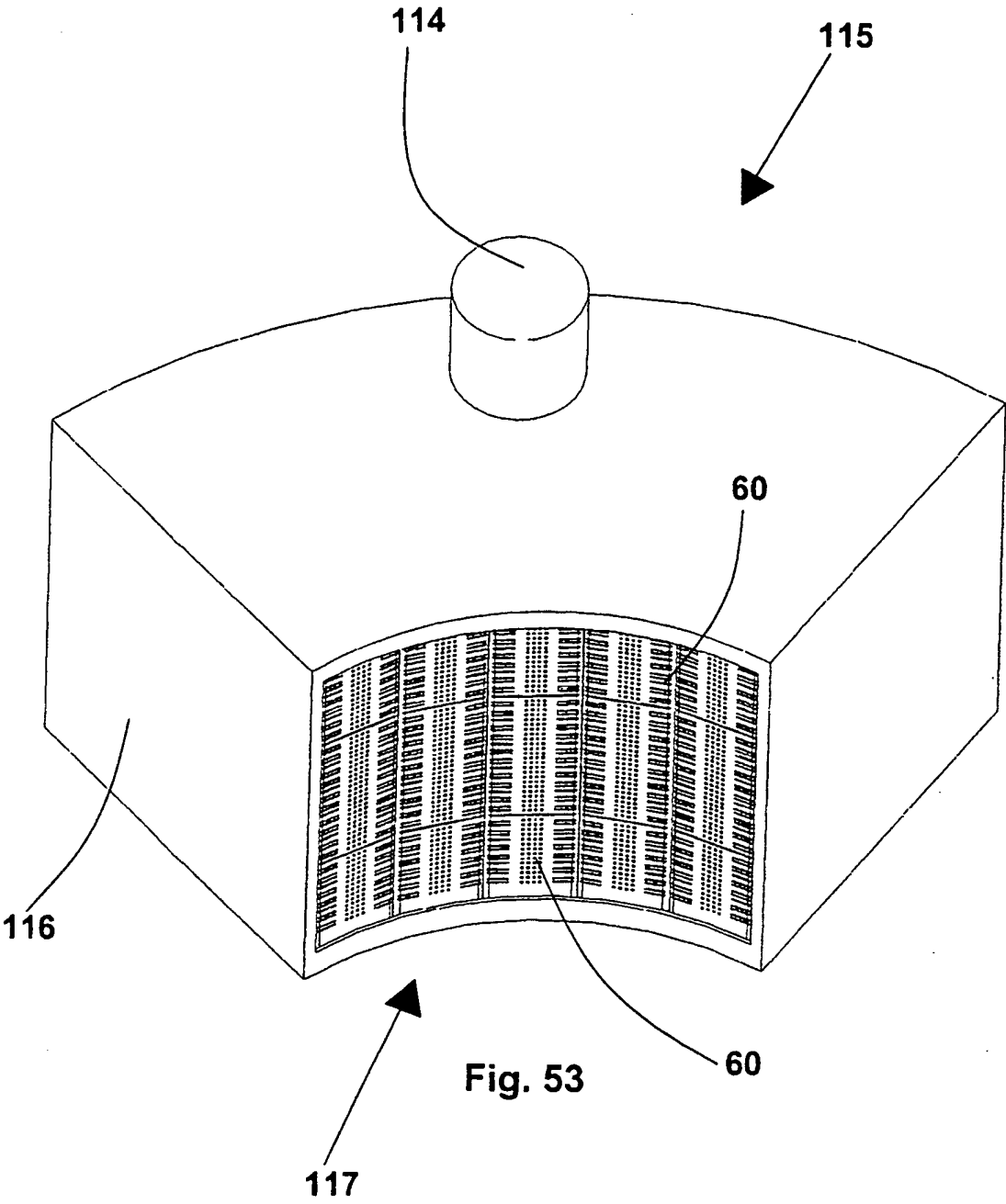


Fig. 50





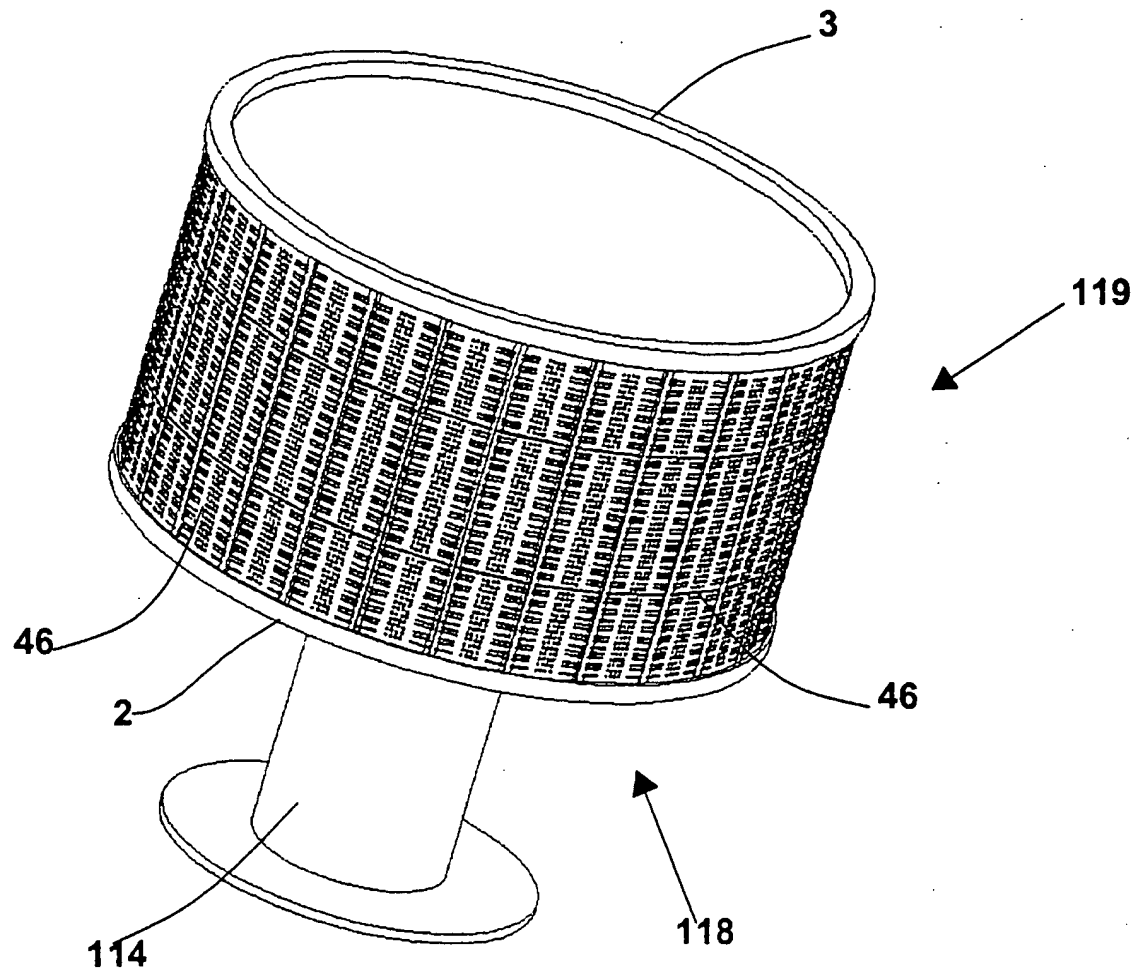


Fig. 54

27/29

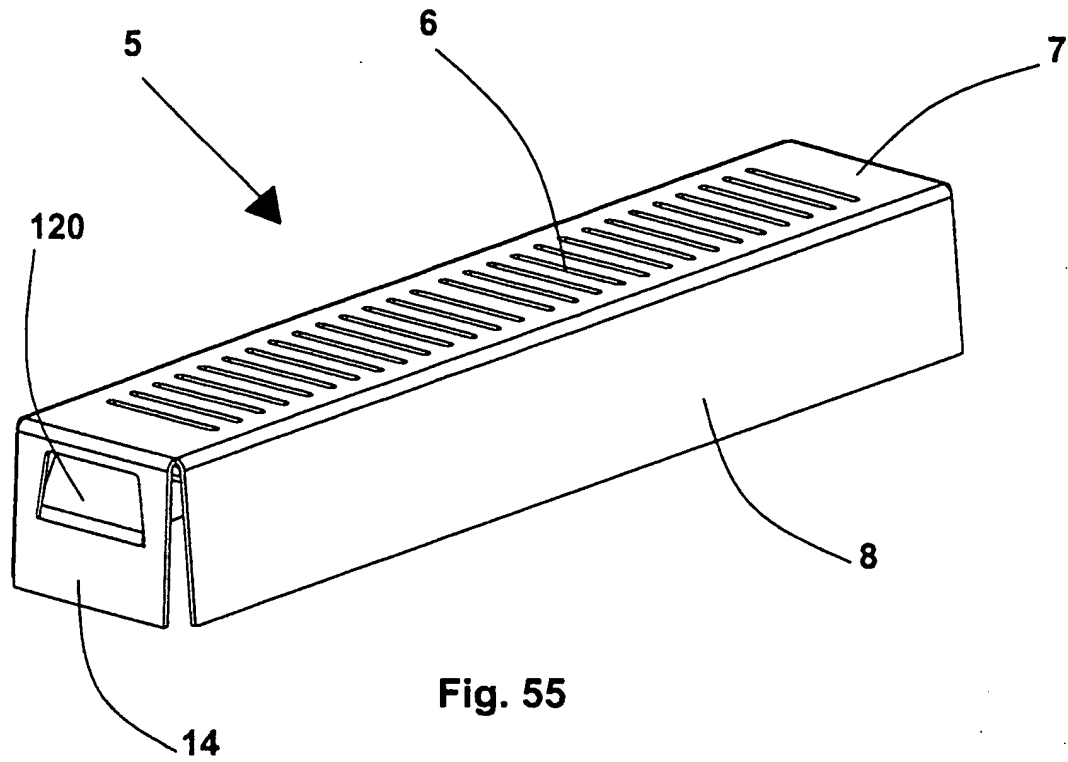


Fig. 55

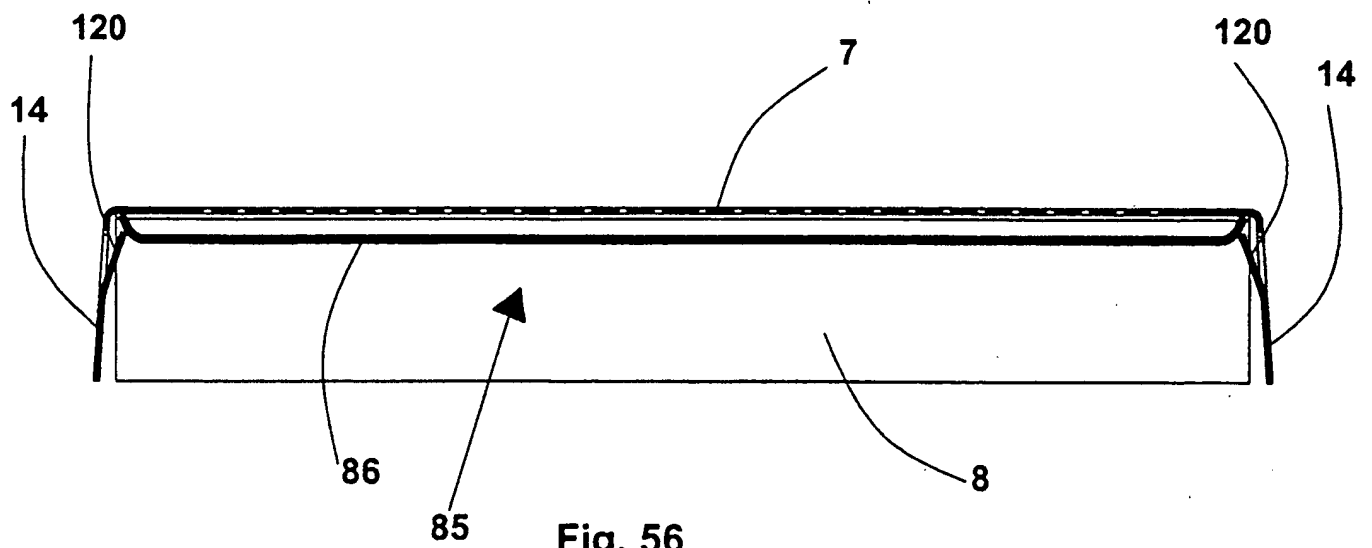


Fig. 56

28/29

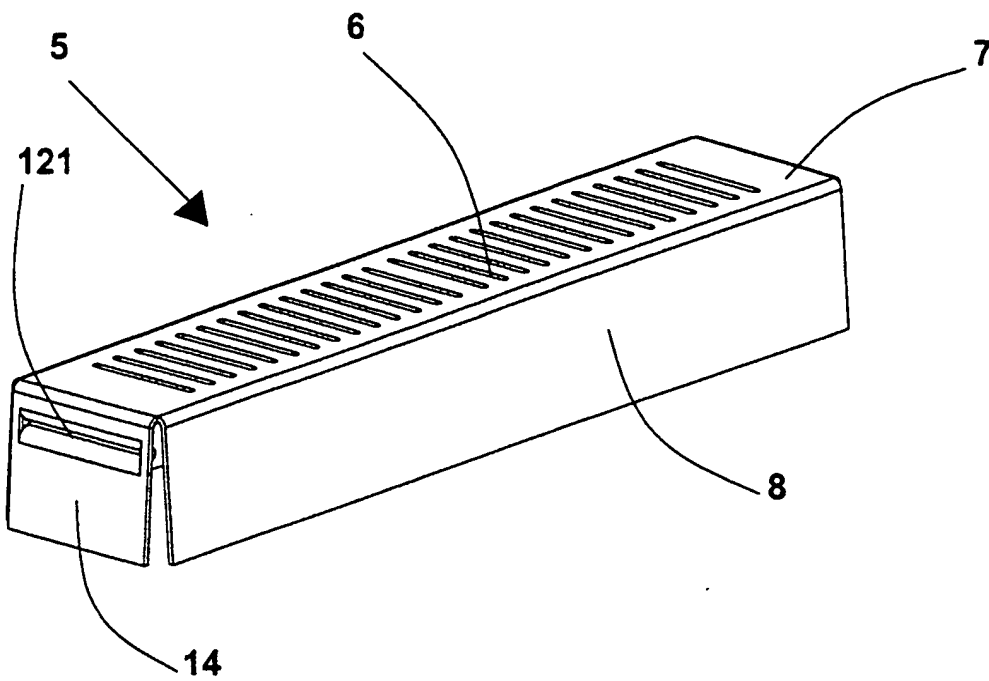


Fig. 57

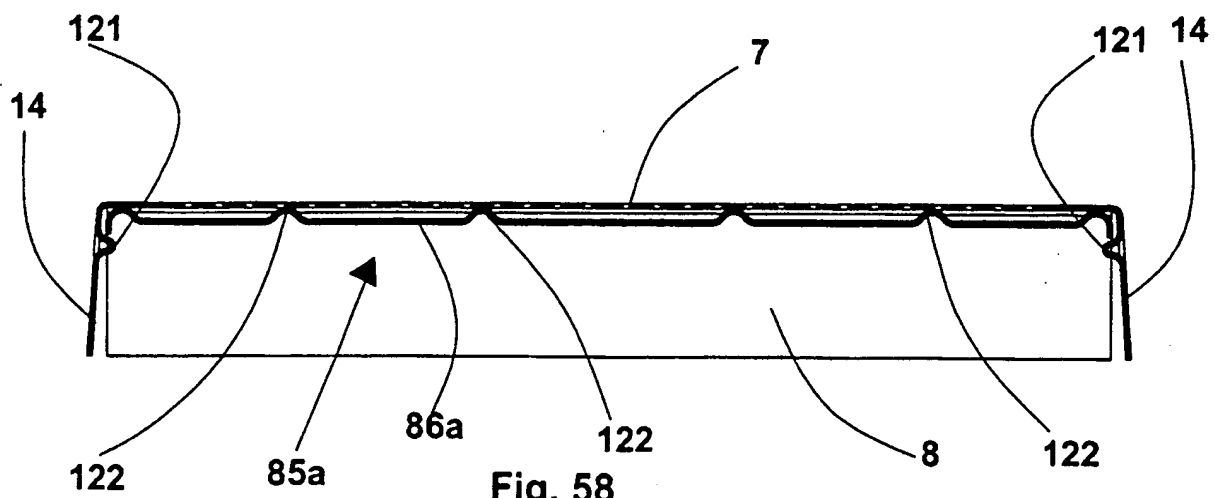


Fig. 58

29/29

